

تئیه مشتق‌های آریل آمین با استفاده از نمک‌های مس به عنوان کاتالیزگر

مجید غضنفرپور در جانی^{*}، محبوبه باباپور کوشالشاهی، لیلا محمد علیخانی

باشگاه پژوهشگران جوان و نخبگان، واحد بوین زهراء، دانشگاه آزاد اسلامی، بوین زهراء، ایران

چکیده: پی‌پرازین‌های نامتقارن به طور گسترده در ساختار داروهای آنتی سایکوتیک یافته می‌شوند. از آن‌جا که آلکیل یا آریل دار کردن گرینشی پی‌پرازین‌ها به آسانی انجام نمی‌شود، استفاده از واکنش آریل دار کردن 1,4-diaza-bicyclo[2.2.2]octan با استفاده از واکنش جفت شدن متقاطع کربن-نیتروژن، مسیر مناسی برای تهیه این ترکیب‌های هدف به شمار می‌آید. در این پژوهش، مسیر تازه‌ای برای تهیه مشتق‌های پی‌پرازین نامتقارن با استفاده از آریل تری‌فلات‌ها به عنوان منبع آریل، آلکیل کلریدها به عنوان منبع آلکیل و 1,4-diaza-bicyclo[2.2.2]octan به عنوان منبع آمین گزارش شده است. شرایط بهینه واکنش شامل لیتیم ترسیویوتوكساید به عنوان باز حجیم، مس کلرید به عنوان کاتالیزگر و پلی‌اتیلن گلیکول - ۴۰۰ به عنوان حلال است. بررسی تنوع پذیری واکنش نشان داد که حضور استخلاف‌های الکترون کشنده و الکترون دهنده در ساختار آریل تری‌فلات به خوبی با شرایط واکنش همخوانی دارد.

واژه‌های کلیدی: آریل تری‌فلات، پی‌پرازین‌های نامتقارن، واکنش جفت شدن-متقاطع، باز حجیم، مس کلرید، پلی‌اتیلن گلیکول - ۴۰۰.

KEYWORDS: Aryl triflate; Unsymmetrical pipirazine; Cross-coupling reaction; Bulky base; Copper Chloride; Polyethylene glycol-400.

مقدمه

به تازگی استرادیوتو^(۱) و همکاران مسیر جالبی برای تشکیل پیوند کربن-نیتروژن بین واحدهای ساختاری گوناگون، امری ضروری در سنتز ترکیب‌های آلی به شمار می‌آید. استفاده از دی‌آلکیل آزوی کربوکسیلات به عنوان منبع نیتروژن نیز روش مناسب دیگری برای تشکیل پیوند کربن-نیتروژن با استفاده از استراتژی جفت شدن-متقاطع است [۶-۹]. یکی از پیشرفت‌های مهم در زمینه واکنش‌های جفت شدن-متقاطع، طراحی و سنتز لیگاندهای دارای اثرهای فضایی و الکترونی گوناگون است [۱۱]. با استفاده از لیگاندهای جدید گونه‌های

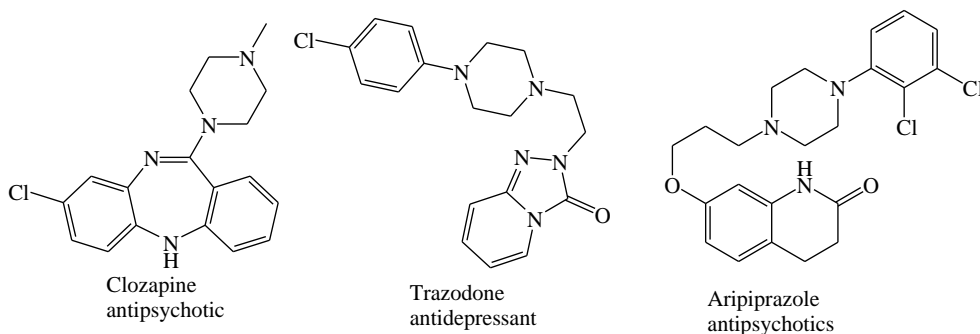
تشکیل انتخابی پیوند کربن-نیتروژن بین واحدهای ساختاری گوناگون، امری ضروری در سنتز ترکیب‌های آلی به شمار می‌آید. در طی دوده گذشته، واکنش‌های جفت شدن-متقاطع با منابع آریل فعال (آریل هالید، تری‌فلات و سولفونات) در مجاورت فلزهای واسطه، جایگزین روش‌های پیشین تشکیل پیوند آریل-کربن و -هترواتوم شده است [۶-۱۱]. واکنش آمین دار شدن بوخوالد-هارتونیگ^(۲) اولین نمونه از واکنش‌های جفت شدن-متقاطع برای تشکیل آریل آمین‌ها با استفاده از کاتالیزگر پالادیم بود [۷].

+E-mail: m.ghazanfarpour@modares.ac.ir

(۱) Buchwald-Hartwig amination

* عهده دار مکاتبات

(۲) Stradiotto



شکل ۱- برخی از داروهای دارای ساختار پی‌پیرازینی نامتقارن.

دارای گروههای الکترون کشنده قوی هستند. به همین دلیل، معرفی یک روش کارآمد برای آریل و آلکیل دار شدن نامتقارن دابکو می‌تواند موجب ساده شدن تهیه اسکلت پی‌پیرازین‌های نامتقارن شود.

در سال‌های اخیر، دکتر یاوری و همکاران، مسیر سنتزی دقیق و کارآمدی را برای تهیه مشتقهای پی‌پیرازینی نامتقارن از واکنش آلکیل هالیدها، آریل هالیدها و دابکو (منبع پی‌پیرازین) در مجاورت نمک‌های مس گزارش نموده‌اند [۲۵]. با توجه به این مسیر سنتزی جالب و در ادامه علاقمندی این گروه پژوهشی به انجام واکنش‌های سنتزی در مجاورت کاتالیزگرهای فلزهای واسطه ۲۸ - ۲۶، کارایی آریل تریفلات‌ها و آلکیل کلریدها به عنوان منابع آریل و آلکیل مورد مطالعه قرار گرفتند (شکل ۲).

بخش تجربی

آلکیل کلریدها، دابکو، حلال‌ها، بازها، و کاتالیزگرهای مورد استفاده در این مقاله، از منابع تجاری مانند مرک^(۱) و آلدريچ^(۲) تهیه شدند. همه حلال‌های مورد استفاده باید به طور کامل بدون اکسیژن و رطوبت شوند (5 ppm = part per million) (H_2O). نمک‌های مس پیش از استفاده در گلاوباسک وزن شده و بر روی دسیکاتور نگهداری شدند. تمامی ترکیب‌های آریل تریفلات استفاده شده در این واکنش با استفاده از مشتق فنول مربوطه به عنوان ماده اولیه در مجاورت آنیدرید تریفلات تهیه شده‌اند. نقطه ذوب ترکیب‌های جامد با استفاده از دستگاه Electrothermal-9100 اندازه‌گیری شد. طیف‌های IR با استفاده از طیف سنج

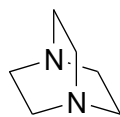
غیرفعالی مانند آریل کلریدها، سولفونات‌ها و فسفات‌ها نیز با کارایی بالا در واکنش‌های جفت شدن - متقاطع شرکت می‌کنند. استفاده از کاتالیزگرهای ارزان قیمت مس گام مهم بعدی در زمینه پیشرفت واکنش‌های جفت شدن - متقاطع و تجاری شدن آن‌ها بود [۱۵ - ۱۲].

واحد ساختاری پی‌پیرازین یک واحد تکرار شونده در ساختار بسیاری از ترکیب‌های دارویی و ترکیب‌های فعال زیستی می‌باشد [۱۶]. در (شکل ۱) تعدادی از ترکیب‌های پی‌پیرازینی نامتقارن که به عنوان داروهای آنتی‌سایکوتیک کاربرد دارند، آورده شده‌اند. باید اشاره داشت که بسیاری از ترکیب‌های دارویی دارای اسکلت پی‌پیرازینی نامتقارن، در بین صد فراورده‌ی دارویی پرروش قرار دارند [۱۸]. با توجه به ارزشمندی ترکیب‌های پی‌پیرازینی، مسیرهای متنوعی برای تهیه این ترکیب‌های گزارش شده است. روش‌های گوناگون تهیه اسکلت پی‌پیرازینی در مقاله مروری که به تازگی به چاپ رسیده است، معرفی شده‌اند [۱۹]. باز شدن حلقه ۱,4-diaza-bicyclo[2.2.2]octan (دابکو) در مجاورت آلکیل هالیدها روش مناسبی برای تهیه اسکلت پی‌پیرازینی عامل دار شده به شمار می‌آید [۲۰، ۲۱]. این واکنش اولین بار توسط روس^(۱) معرفی شد [۲۲]. واکنش باز شدن حلقه دابکو با استفاده از آریل هالیدها یک واکنش بسیار دلخواه است که تنها در مجاورت آریل هالیدهای دارای گروههای الکترون کشنده قوی قابل انجام است [۲۳]. با این که نمی‌توان اهمیت این واکنش‌ها را در تهیه پی‌پیرازین‌ها نادیده گرفت، ولی این واکنش‌ها تنها محدود به تهیه پی‌پیرازین‌های متقاضن و آریل پی‌پیرازین‌های

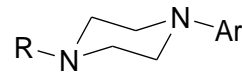
(۱) Ross

(۳) Sigma Aldrich

(۲) Merck



Copper salt



شکل ۲- تهیه ترکیب‌های پی‌پیروازینی نامتقارن با استفاده از آریل تری‌فلات‌ها، آلکیل کلریدها و دابکو.

به عنوان واکنش مدل انتخاب شد. هنگامی که مخلوط واکنش در حلال دی‌متیل سولفوکساید به مدت ۱۲ ساعت و در دمای 70°C هم زده شد، *N*-benzyl-*N'*-phenylpiperazine با بازده ۱۷٪ تشکیل شد. با توجه به تشکیل فراورده‌ی موردنظر با بازده کم، شرایط واکنش برای رسیدن به شرایط بهینه مورد مطالعه قرار گرفت (جدول ۱).

نخست، واکنش در مجاورت کاتالیزگرهای گوناگون نمک‌های مس مورد بررسی قرار گرفت. در میان نمک‌های مس، منابع مس (II) کمترین کارایی را داشتند. نمک‌های مس یدید و مس تری‌فلات کارایی مناسبی داشتند. بررسی واکنش نشان داد که مس برمید و فلورید کاتالیزگر مناسبی برای این واکنش نیستند. در بین نمک‌های مس مطالعه شده، مس کلرید بیشترین کارایی را داشت. با توجه به مشخص شدن کاتالیزگر مناسب، در ادامه واکنش در مجاورت بازهای گوناگون مورد مطالعه قرار گرفت. مطالعه‌های انجام گرفته نشان داد که باز نقش بسیار مهمی در پیشرفت واکنش دارد. بازهای آلی مانند لوتیدین و تری‌آلکیل آمین‌ها باز مناسبی برای این واکنش نبودند. در بین بازهای معدنی، کربنات‌ها نیز کارایی مناسبی نداشتند اگرچه، باز گران قیمت سزیم کربنات فراورده‌ی مورد نظر را با بازده متوسط تولید کرد. در مجاورت ترسیوبوتوكساید به عنوان باز، بازده واکنش به مقدار فراوانی افزایش یافت. این مطالعه نشان می‌دهد که پیشرفت موثر واکنش نیازمند حضور بازهای قوی است. با تغییر کاتیون همراه در ترسیوبوتوكسایدها نیز بازده واکنش تغییر محسوسی داشت. بیشترین بازده در مجاورت لیتیم ترسیوبوتوكساید به عنوان باز به دست آمد. باید اشاره داشت که به نظر می‌رسد کاتیون لیتیم در فعال‌سازی گروه تری‌فلات در مرحله افزایش اکسایشی نقش چشمگیری دارد. در بخش پایانی بهینه‌سازی شرایط واکنش، نقش حلال‌های گوناگون در بررسی کارایی واکنش، مورد بررسی قرار گرفت. حلال‌های غیرقطبی مانند تولوئن و دی‌اکسان گزینه مناسبی برای این واکنش نبودند. حلال‌های قطبی کوئوردینه کننده کاتیون مانند دی‌متیل سولفوکساید، دی‌متیل فرمامید و *N*-متیل پیروولیدین فراورده‌ی

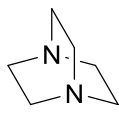
Shimadzu IR-460 طیف‌های H و $^{13}\text{C-NMR}$ با استفاده از دستگاه Bruker DRX-500 ppm در مجاورت تترامتیل سیلان به عنوان استاندارد داخلی در 500 و 125 مگا هرتز، به ترتیب ثبت شدند. طیف‌های جرمی با استفاده از Finnigan-MAT-8430 در پ تانسیل یونیزاسیون 70 الکترون ولت ثبت شدند. آنالیزهای عنصری با استفاده از Heraeus CHN-O Rapid analyzer انجام شدند. خالص سازی فراورده‌های موردنظر از مخلوط واکنش با استفاده از ستون کروماتوگرافی و سیلیکاژل 60 (توزیع ذره‌های $63-200$ میکرومتر، Merck, item number 7734-3) انجام شد. کروماتوگرافی لایه نازک با استفاده از سیلیکاژل 60 (Merck, Item number 116835) انجام شد.

به مخلوطی از آلکیل کلرید (1 میلی مول) در حلال پلی‌اتیلن گلیکول (400 میلی لیتر)، دابکو ($1/1$ میلی مول) به صورت آهسته افزوده شده و مخلوط حاصل به مدت 30 دقیقه در دمای اتانس روی همزن مغناطیسی هم‌زده می‌شود. در ادامه آریل تری‌فلات (1 میلی مول)، ترسیوبوتوكساید ($1/5$ میلی مول) و مس کلرید ($0/1$ میلی مول) به مخلوط واکنش افزوده شد و به مدت 12 ساعت در دمای 70°C هم‌زده شد. در پایان واکنش اتیل استات (10 میلی لیتر) و محلول آبی اشباع شده از آمونیوم کلرید (20 میلی لیتر) به مخلوط واکنش افزوده شد. مخلوط واکنش به مدت 15 دقیقه بر روی همزن مغناطیسی هم‌زده شد، سپس فاز آلی استخراج شده و فاز آبی دو بار دیگر با اتیل استات (10 میلی لیتر) استخراج شد. پس از تبخیر حلال در خلا، باقیمانده با استفاده از کروماتوگرافی ستونی با فاز ساکن سیلیکاژل و فاز متحرک شامل مخلوط 3 به 1 حلال‌های هگزان و اتیل استات جداسازی شد.

نتیجه‌ها و بحث

نخست واکنش دابکو (1)، بنزیل کلرید (2) و بنزن تری‌فلورومتان سولفونات (3) در مجاورت مس یدید و پتابسیم ترسیوبوتوكساید

جدول ۱- بھینه سازی شرایط واکنش برای تشکیل پیپرازین نامتقارن^a.

 1			$\text{Bn}-\text{Cl} + \text{Ph}-\text{OTf} \xrightarrow[\text{base, solvent}]{\text{copper salt}} \text{Bn}-\text{N}(\text{CH}_2\text{CH}_2\text{N}-\text{Ph})$ 4	
بازده واکنش (%)	باز	حال	کاتالیزگر	ردیف
۸۴	لیتیم ترسیوبوتیل پروکسید	پلی اتیلن گلیکول-۴۰۰	مس تریفلات	۱
۸۱	لیتیم ترسیوبوتیل پروکسید	پلی اتیلن گلیکول-۴۰۰	مس یدید	۲
۶	لیتیم ترسیوبوتیل پروکسید	پلی اتیلن گلیکول-۴۰۰	مس برمید	۳
۴۳	لیتیم ترسیوبوتیل پروکسید	پلی اتیلن گلیکول-۴۰۰	مس برمید. دی متیل سولفید	۴
۹۰	لیتیم ترسیوبوتیل پروکسید	پلی اتیلن گلیکول-۴۰۰	مس کلرید	۵
۱۴	لیتیم ترسیوبوتیل پروکسید	پلی اتیلن گلیکول-۴۰۰	مس (II) فلورید	۶
۷۲	لیتیم ترسیوبوتیل پروکسید	پلی اتیلن گلیکول-۴۰۰	مس (II) برمید	۷
-	لیتیم ترسیوبوتیل پروکسید	پلی اتیلن گلیکول-۴۰۰	مس (I) اکسید	۸
-	لیتیم ترسیوبوتیل پروکسید	پلی اتیلن گلیکول-۴۰۰	مس (II) ترافلوروبورات	۹
۶۳	لیتیم ترسیوبوتیل پروکسید	پلی اتیلن گلیکول-۴۰۰	مس (II) استات	۱۰
۸	پتابسیم کربنات	پلی اتیلن گلیکول-۴۰۰	مس کلرید	۱۱
۳۸	سزیم کربنات	پلی اتیلن گلیکول-۴۰۰	مس کلرید	۱۲
-	دی ایزوپروپیل اتیل آمین	پلی اتیلن گلیکول-۴۰۰	مس کلرید	۱۳
-	۶-لوتیدین	پلی اتیلن گلیکول-۴۰۰	مس کلرید	۱۴
۶۹	پتابسیم ترسیوبوتیل پروکسید	پلی اتیلن گلیکول-۴۰۰	مس کلرید	۱۵
-	لیتیم ترسیوبوتیل پروکسید	تولوئن	مس کلرید	۱۶
۱۶	لیتیم ترسیوبوتیل پروکسید	دی اکسان	مس کلرید	۱۷
۷۱	لیتیم ترسیوبوتیل پروکسید	دی متیل سولفونات	مس کلرید	۱۸
۲۸	لیتیم ترسیوبوتیل پروکسید	ان - متیل پرولیدین	مس کلرید	۱۹
۴۳	لیتیم ترسیوبوتیل پروکسید	هگزامتیل فسفر آمید	مس کلرید	۲۰
۶۹	لیتیم ترسیوبوتیل پروکسید	دی متیل فرمامید	مس کلرید	۲۱
-	-	پلی اتیلن گلیکول-۴۰۰	-	۲۲
-	-	پلی اتیلن گلیکول-۴۰۰	مس کلرید	۲۳

(a) شرایط عمومی واکنش: دابکو (۱/۱ میلی مول)، بنزیل کلرید (۱ میلی مول)، فنیل تری فلورومتان سولفونات (۱ میلی مول)، باز (۱/۵ میلی مول)، نمک مس (۱/۰ میلی مول)، حال (۳ میلی لیتر در 70°C) به مدت ۱۲ ساعت.

به دست آمده در این مطالعه و گزارش‌های پیشین، در (شکل ۳) آورده شده است. در این واکنش نخست در یک واکنش جانشینی هسته دوستی دوملکولی، حد بواسطه ۵ تشکیل می‌شود. از سوی دیگر از واکنش افزایش اکسایشی آریل تریفلات در مجاورت منبع مس حد بواسطه ۶ تشکیل می‌شود. با پیشرفت واکنش، جایه‌جایی لیگاند روی حد بواسطه ۶ منجر به تشکیل حد بواسطه ۷ و در ادامه تشکیل حد بواسطه ۸ می‌شود. حد بواسطه ۸ در مجاورت بازهای حجیم، در واکنش حذفی شبه هافمن شرکت می‌کند و حد بواسطه ۹ تهیه می‌شود. با پیشرفت بیشتر واکنش و تکرار مرحله حذف هافمن، فراورده‌ی مورد نظر تهیه می‌شود. با توجه به مکانیسم پیشنهادی می‌توان دید که حضور نمک‌های لیتیم به عنوان کاتیون همراه به پیشرفت واکنش کمک می‌کند. مطالعه‌های پیشین در منابع علمی نشان داده است که واکنش‌های جفت شدن در مجاورت آریل تریفلات‌ها با کاتیون PEG-400 لیتیم ساده تر می‌شود [۱۰]. اگرچه نقش حلال ۱۰ در پیشرفت واکنش مشخص نیست ولی مشخص شده است که حلال‌های هیدروکسیل دار پلیمری موجب تشکیل گونه‌های فعال کاتالیستی مس و پالادیم می‌شود [۲۹]. با توجه به انجام دو مرحله واکنش حذفی برای تشکیل فراورده‌ی مورد نظر، نقش باز قوی به طور کامل مشهود است. واکنش حذفی از حد بواسطه ۹ به فراورده‌ی موردنظر، حذف روی سیستم‌های وینیلی است و چون پروتون وینیلی اسیدیتیه پایینی دارد حذف آن نیازمند حضور باز قوی است.

طیف $^1\text{H-NMR}$ ^۱ ترکیب ۴a در (شکل ۴) آورده شده است. همان‌گونه که دیده می‌شود دو گروه متیلن متصل به نیتروژن به صورت دو سه‌تایی در ناحیه ppm ۳ دیده می‌شود. گروه متیلن مربوط به هیدروژن‌های بتزیلی نیز به صورت یک سیگنال یکتاپی در ناحیه ppm ۳۵ ظاهر شده است. حضور ده هیدروژن در منطقه آروماتیک نیز با ساختار پیشنهادی هماهنگی کامل دارد. طیف $^{13}\text{C-NMR}$ ^{۱۳} ترکیب ۴a نیز در (شکل ۵) آورده شده است. همان‌گونه که دیده می‌شود ۱۱ سیگنال موجود در طیف با ساختار ترکیب ۴a مطابقت دارد. ۳ گروه متیلنی در ناحیه ppm ۶۰ تا ۵۰ ظاهر شده است که به ترتیب مربوط به دو گروه CH₂N و یک گروه CH₂ بتزیلی می‌باشند. شش گروه CH نیز در منطقه آروماتیک ظاهر شده است که به خوبی با ساختار پیشنهادی مطابقت دارد.

مورد نظر را با بازده متوسطی تولید کردند. در میان حلال‌های مطالعه شده، پلی‌اتیلن گلیکول-۴۰۰ بیشترین کارایی را داشت. این حلال افزون بر توانایی تشکیل پیوند هیدروژنی، به عنوان عامل کاهنده فلزها نیز شناخته شده است. این احتمال وجود دارد که پلی‌اتیلن گلیکول-۴۰۰ با کاهش نمک مس، یک گونه فعال کاتالیزگر را تولید کند [۲۹]. باید اشاره داشت که تغییر دما و زمان واکنش اثر محسوسی بر بازده واکنش نداشت، اگرچه در مجاورت گونه‌های پرالکترون مانند ۴-متوكسی بنزن تری‌فلورومتان سولفونات واکنش به زمان بیشتری برای کامل شدن نیاز داشت.

در ادامه به منظور بررسی تکرارپذیری و تنوع پذیری واکنش، از بنزن تری‌فلورومتان سولفونات با استخلاف‌های گوناگون استفاده شد که نتیجه‌های آن در جدول ۲ آورده شده است. آریل تری‌فلات با استخلاف کلر باعث افزایش کارایی واکنش شد. در حالی که حضور استخلاف برم در موقعیت پارای حلقه آریل تری‌فلات، بازده واکنش را اندکی کاهش داد. این واکنش به اثرهای ازدحام فضایی حساس است، همان‌گونه که دیده می‌شود حضور گروه متیل در موقعیت ارتوی حلقه بازده واکنش را به مقدار چشمگیری کاهش می‌دهد. حضور گروه الکترون‌دهنده ضعیف مانند متیل در موقعیت متا و پارای حلقه، بازده واکنش را کاهش می‌دهد. آریل تری‌فلات با استخلاف متوكسی در حلقه، کمترین کارایی را در این واکنش داشت. به نظر می‌رسد گروه‌های الکترون‌دهنده به دلیل کاهش خاصیت الکترون دوستی حلقه، کارایی واکنش را در مرحله افزایش اکسایشی به مس کاهش می‌دهند. استفاده از بوتیل و هگزیل کلرید به عنوان منبع آلکیل کلرید، موجب کاهش کارایی واکنش شد. این نتیجه‌ها با تمایل بالای سامانه بتزیلی نسبت به آلکیل نوع اول برای شرکت در واکنش جانشینی هسته دوستی دوملکولی هماهنگی دارد. آریل تری‌فلات با استخلاف الکترون کشنده تری‌فلورومتیل، کارایی واکنش را افزایش می‌دهد. همان‌گونه که در منابع علمی آمده است، مرحله افزایش اکسایشی در واکنش‌های جفت شدن در مجاورت گروه‌های الکترون کشنده تسهیل می‌شوند. استفاده از آلکیل برミدها به عنوان منبع آلکیل هالید، کارایی واکنش را افزایش داد. اگرچه به دلیل قیمت کمتر آلکیل کلریدها، واکنش در مجاورت این ترکیب‌ها بررسی شد.

اگرچه مکانیسم دقیق پیشرفت واکنش مشخص نیست، مسیر منطقی تشکیل فراورده‌ی موردنظر براساس نتیجه‌های

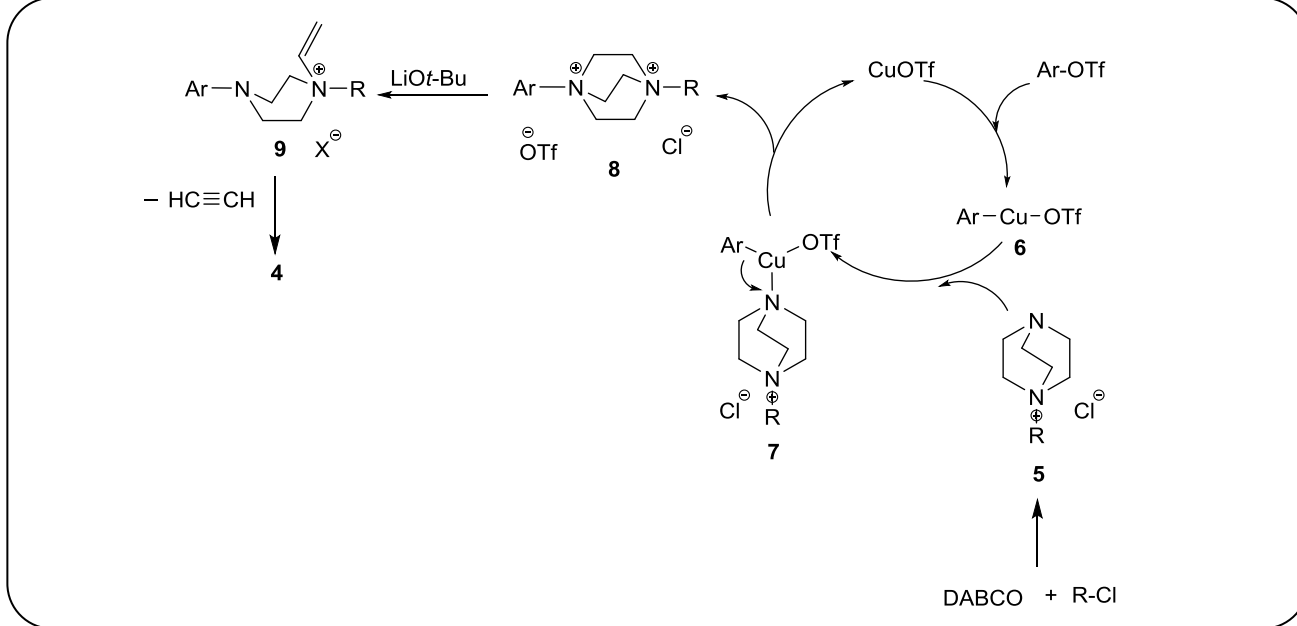
جدول ۲- بررسی تنوع پذیری واکنش برای تشکیل *N*-benzyl-*N'*-phenylpiperazine مختلف.^a

بازده واکنش (%)	آلکیل	آریل	آزمایش
۹۰	بنزیل	فنیل	۱
۸۷	بنزیل	۴-برمو فنیل	۲
۸۹	بنزیل	۴-کلرو فنیل	۳
۶۹	بنزیل	۲-متیل فنیل	۴
۸۲	بنزیل	۳-متیل فنیل	۵
۸۵	بنزیل	۴-متیل فنیل	۶
۶۱	بنزیل	۴-متوكسی فنیل	۷
۸۳	بنزیل	فنیل	۸
۸۲	بوتیل	۴-متیل فنیل	۹
۸۵	هگزیل	فنیل	۱۰
۹۱	بنزیل	۱-نفتینیل	۱۱
۹۴	بنزیل	۳-تری فلورو متیل فنیل	۱۲
۹۲	بوتیل	۳-تری فلورو متیل فنیل	۱۳
۹۵	هگزیل	۳-تری فلورو متیل فنیل	۱۴

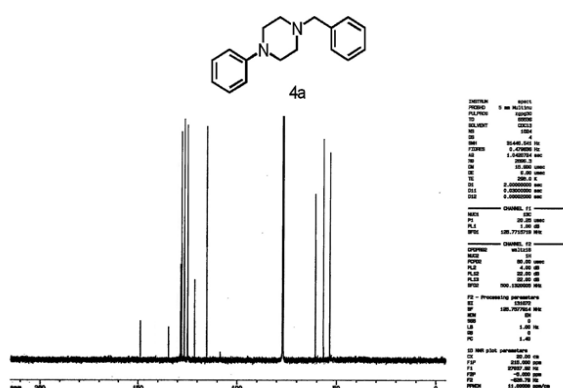
(a) شرایط عمومی واکنش: دابکو (۱/۱ میلی مول)، آلکیل کلرید (۱ میلی مول)، آریل تری فلورو متان سولفونات (۱ میلی مول)، لیتیم ترسیبوبوتوكساید (۱/۵ میلی مول)، مس کلرید (۱/۰ میلی مول)، پلی اتیلن گلیکول-۴۰۰-۳ (۳ میلی لیتر) در 70°C به مدت ۱۲ ساعت.

قرار گرفت و نتیجه‌های این مطالعه نشان داد که بازه‌ای حجیم و قوی بیشترین کارایی را در این واکنش دارند. همچنین حضور لیتیم به عنوان کاتیون همراه باز، مرحله افزایش اکسایشی را آسان می‌کند. در این واکنش از حلal پلی اتیلن گلیکول-۴۰۰ به عنوان حلال سبز استفاده شده است. بررسی تنوع پذیری واکنش نشان داد که آریل تری فلات‌های دارای کمبود الکترون کارایی بیشتری نسبت به گونه‌های پر الکترون دارند که نتیجه‌های به دست آمده با نتیجه‌های موجود در منابع علمی به طور کامل

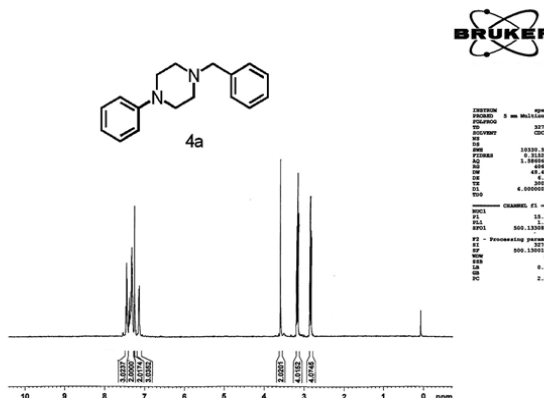
نتیجه گیری
با توجه به اهمیت ترکیب‌های پیپرازینی نامتقارن و حضور این واحد ساختاری در ساختمان بسیاری از داروهای ارایه روش‌های نوین برای تهییه این ترکیب‌ها اهمیت سنتزی فراوانی دارد. در این پژوهش با استفاده از واکنش‌های جفت شدن متقاطع آلکیل کلریدها، آریل تری فلات‌ها و دابکو در مجاورت کاتالیزگر مس کلرید، مسیر کارآمدی برای تهییه این ترکیب‌ها گزارش شده است. شرایط واکنش برای رسیدن به بازده مناسب مورد بررسی



شکل ۳- بررسی مکانیسم پیشرفت واکنش.



شکل ۵- طیف ^{13}C -NMR ترکیب ۴a



شکل ۶- طیف ^1H -NMR ترکیب ۴a

پیوست: داده‌های طیفی

1-Benzyl-4-phenylpiperazine

Pale yellow solid, mp: 41-43 °C; yield: 0.20 g (90%). IR (KBr) (ν_{max} , cm^{-1}): 2937, 1600, 1501, 1237. ^1H NMR (400 MHz, CDCl_3): $\delta_{\text{H}} = 2.64$ (4 H, t, $^3J = 5.1$ Hz, 2 CH_2), 3.23 (4 H, t, $^3J = 5.1$ Hz, 2 CH_2), 3.59 (2 H, s, 2 CH_2N), 6.87 (1 H, t, $^3J = 7.2$ Hz, CH), 6.95 (2 H, d, $^3J = 8.4$ Hz, CH), 7.27 (2 H, t, $^3J = 7.3$ Hz, CH), 7.29 (1 H, m, CH), 7.35-7.37 (4 H, m, CH) ppm. ^{13}C NMR (125.7 MHz, CDCl_3): $\delta_{\text{C}} = 49.1$ (2 CH_2), 53.1 (2 CH_2), 63.1 (CH_2N),

همخواهی دارند. به علاوه این واکنش به اثرهای فضایی روی آریل تریفلات حساس است و افزایش ازدحام فضایی روی واکنشگر آریل تریفلات موجب کاهش کارایی واکنش می‌شود

قدرت دانی

نویسنده‌گان مقاله از حمایت‌های مالی باشگاه پژوهشگران و نخبگان جوان دانشگاه آزاد اسلامی - واحد بوین زهراء و معاونت پژوهشی واحد صمیمانه تشکر می‌نمایند.

(CH₂N), 113.1 (CH), 116.9 (CH), 120.5 (CH), 127.9 (CH), 128.3 (2 CH), 128.9 (CH), 129.2 (2 CH), 138.0 (C), 138.8 (C), 151.4 (C) ppm. MS: *m/z* (%) = 266 (M⁺, 65), 251 (9), 119 (68), 91 (95), 77 (13), 56 (16). Anal. Calcd for C₁₈H₂₂N₂ (266.38): C, 77.01; H, 10.16; N, 12.83%; Found C, 77.35; H, 10.35; N, 12.93%.

1-Benzyl-4-(3-methylphenyl)piperazine

Pale yellow oil; yield: 0.20 g (82%). IR (KBr) (ν_{\max} , cm⁻¹): 2940, 1611, 1509, 1221. ¹H NMR (400 MHz, CDCl₃) δ _H = 2.32 (3 H, s, Me), 2.62 (4 H, t, ³J = 5.0 Hz, 2 CH₂), 3.20 (4 H, t, ³J = 5.0 Hz, 2 CH₂), 3.58 (2 H, s, 2 CH₂N), 6.70 (1 H, t, ³J = 7.2 Hz, CH), 6.74 (2 H, m, CH), 7.15 (1 H, t, ³J = 7.6 Hz, CH), 7.26-7.31 (1 H, m, CH), 7.34-7.38 (4 H, m, CH) ppm. ¹³C NMR (125.7 MHz, CDCl₃): δ _C = 21.8 (Me), 49.2 (2 CH₂), 53.1 (2 CH₂), 63.1 (CH₂N), 113.1 (CH), 116.4 (CH), 120.5 (CH), 127.1 (CH), 128.3 (2 CH), 128.9 (CH), 129.2 (2 CH), 137.9 (C), 138.8 (C), 151.4 (C) ppm. MS: *m/z* (%) = 266 (M⁺, 5), 251 (3), 119 (9), 91 (25), 83 (95), 77 (4), 56 (6). Anal. Calcd for C₁₈H₂₂N₂ (266.38): C, 77.01; H, 10.16; N, 12.83%; Found C, 77.24; H, 10.42; N, 12.65%.

1-Benzyl-4-(4-methylphenyl)piperazine

Pale yellow oil; yield: 0.19 g (85%). IR (KBr) (ν_{\max} , cm⁻¹): 2934, 1604, 1510, 1348, 1142. ¹H NMR (400 MHz, CDCl₃) δ _H = 2.32 (3 H, s, Me), 2.63 (4 H, t, ³J = 5.0 Hz, 2 CH₂), 3.20 (4 H, t, ³J = 5.0 Hz, 2 CH₂), 3.59 (2 H, s, 2 CH₂N), 6.76 (2 H, d, ³J = 8.1 Hz, CH), 6.98 (2 H, d, ³J = 8.1 Hz, CH), 7.28-7.32 (1 H, m, CH), 7.34-7.38 (4 H, m, CH) ppm. ¹³C NMR (125.7 MHz, CDCl₃): δ _C = 21.8 (Me), 49.7 (2 CH₂), 53.2 (2 CH₂), 63.1 (CH₂N), 127.2 (2 CH), 128.3 (2 CH), 128.9 (CH), 129.3 (2 CH), 129.7 (2 CH), 137.9 (C), 138.8 (C), 151.4 (C) ppm. MS: *m/z* (%) = 266 (M⁺, 95), 251 (16), 120 (34), 91 (95), 83 (35), 56 (6). Anal. Calcd for C₁₈H₂₂N₂ (266.38): C, 81.16; H, 8.32; N, 10.52%; Found C, 81.36; H, 8.68; N, 10.15%.

1-Benzyl-4-(4-methoxyphenyl)piperazine

Pale yellow oil; yield: 0.21 g (61%). IR (KBr) (ν_{\max} , cm⁻¹): 2932, 2832, 1579, 1464, 1248. ¹H NMR (400 MHz, CDCl₃): δ _H = 2.64 (4 H, t, ³J = 5.1 Hz, 2 CH₂), 3.23 (4 H, t, ³J = 5.1 Hz, 2 CH₂), 3.60 (2 H, s, 2 CH₂N), 2.82 (3 H, s, OMe), 6.67 (2 H, d, ³J = 8.2 Hz, 2 CH), 6.90 (2 H, d, ³J = 8.2 Hz, 2 CH), 7.28-7.31 (1 H, t, ³J = 7.4 Hz, CH), 7.35-40 (4 H, m, 4 CH) ppm. ¹³C NMR (125.7 MHz, CDCl₃):

116.0 (2 CH), 119.6 (CH), 127.1 (CH), 128.3 (2 CH), 129.1 (2 CH), 129.2 (2 CH), 138.0 (C), 151.4 (C) ppm. MS: *m/z* (%) = 252 (M⁺, 35), 119 (58), 106 (47), 91 (95), 77 (26), 56 (18). Anal. Calcd for C₁₇H₂₀N₂ (252.35): C, 80.91; H, 7.99; N, 11.10%; Found: C, 80.64; H, 8.19; N, 11.17%.

1-Benzyl-4-(4-bromoophenyl)piperazine

Pale yellow oil; yield: 0.24 g (87%). IR (KBr) (ν_{\max} , cm⁻¹): 2944, 1595, 1501, 1237. ¹H NMR (400 MHz, CDCl₃): δ _H = 2.61 (4 H, t, ³J = 5.0 Hz, 2 CH₂), 3.17 (4 H, t, ³J = 5.1 Hz, 2 CH₂), 3.57 (2 H, s, 2 CH₂N), 6.77 (2 H, t, ³J = 7.0 Hz, CH), 7.27-7.29 (1 H, m, CH), 6.32 (2 H, t, ³J = 7.0 Hz, CH), 7.35 (4 H, m, CH) ppm. ¹³C NMR (125.7 MHz, CDCl₃): δ _C = 48.9 (2 CH₂), 52.9 (2 CH₂), 63.0 (CH₂N), 117.5 (2 CH), 118.0 (C), 127.1 (CH), 128.3 (2 CH), 129.2 (2 CH), 131.8 (2 CH), 137.8 (C), 150.4 (C) ppm. MS: *m/z* (%) = 330 (M⁺, 45), 119 (58), 104 (35), 91 (95), 77 (27), 56 (66). Anal. Calcd for C₁₇H₁₉BrN₂ (331.25): C, 61.64; H, 5.78; N, 8.46%; Found: C, 61.93; H, 5.51; N, 8.70%.

1-Benzyl-4-(4-chlorophenyl)piperazine

Pale yellow oil; yield: 0.21 g (89%). IR (KBr) (ν_{\max} , cm⁻¹): 2961, 1585, 1511, 1226. ¹H NMR (400 MHz, CDCl₃): δ _H = 2.62 (4 H, t, ³J = 5.1 Hz, 2 CH₂), 3.17 (4 H, t, ³J = 5.1 Hz, 2 CH₂), 3.58 (2 H, s, 2 CH₂N), 6.84 (2 H, t, ³J = 6.9 Hz, CH), 7.19 (2 H, t, ³J = 7.0 Hz, CH), 7.30 (1 H, m, CH), 7.34-7.38 (4 H, m, CH) ppm. ¹³C NMR (125.7 MHz, CDCl₃): δ _C = 49.1 (2 CH₂), 52.9 (2 CH₂), 63.0 (CH₂N), 117.2 (2 CH), 124.4 (C), 127.2 (CH), 128.3 (2 CH), 128.9 (2 CH), 129.2 (2 CH), 137.8 (C), 150.0 (C) ppm. MS: *m/z* (%) = 286 (M⁺, 85), 252 (18), 146 (33), 119 (45), 91 (75), 77 (13), 56 (42). Anal. Calcd for C₁₇H₁₉ClN₂ (286.80): C, 71.19; H, 6.68; N, 9.77%; Found: C, 71.46; H, 6.39; N, 9.51%.

1-Benzyl-4-(2-methylphenyl)piperazine

Pale yellow oil; yield: 0.20 g (69%). IR (KBr) (ν_{\max} , cm⁻¹): 3241, 1569, 1500, 1325, 1110. ¹H NMR (400 MHz, CDCl₃): δ _H = 2.33 (3 H, s, Me), 2.62 (4 H, t, ³J = 5.0 Hz, 2 CH₂), 3.20 (4 H, t, ³J = 5.0 Hz, 2 CH₂), 3.58 (2 H, s, 2 CH₂N), 6.70 (1 H, t, ³J = 7.3 Hz, CH), 6.76 (2 H, m, CH), 7.15 (1 H, t, ³J = 7.7 Hz, CH), 7.26-7.31 (1 H, m, CH), 7.33-7.37 (4 H, m, CH) ppm. ¹³C NMR (125.7 MHz, CDCl₃): δ _C = 21.8 (Me), 49.2 (2 CH₂), 53.1 (2 CH₂), 63.1

49.1 (2 CH₂), 53.3 (2 CH₂), 58.8 (CH₂N), 116.0 (2 CH), 119.6 (CH), 129.1 (2 CH), 151.3 (C) ppm. MS: *m/z* (%) 246 (M⁺, 90), 183 (45), 175 (97), 70 (41), 56 (9). Anal. Calcd for C₁₇H₂₈N₂ (260.42): C, 78.41; H, 10.84; N, 10.76%; Found: C, 78.23; H, 10.97; N, 10.58%.

1-Benzyl-4-(1-naphthyl)piperazine

Pale yellow oil; yield: 0.23 g (91%). IR (KBr) (ν_{max} , cm⁻¹): 2938, 1627, 1508, 1388, 1219. ¹H NMR(400 MHz, CDCl₃): δ_H = 2.69 (4 H, t, ³J = 4.9 Hz, 2 CH₂), 3.32 (4 H, t, ³J = 4.9 Hz, 2 CH₂), 3.62 (2 H, s, 2 CH₂N), 7.13 (1 H, d, ³J = 7.2 Hz, CH), 7.28 (2 H, t, ³J = 6.2 Hz, CH), 7.30 (1 H, t, ³J = 6.2 Hz, CH), 7.33 (1 H, d, ³J = 6.3 Hz, CH), 7.38 (2 H, d, ³J = 6.3 Hz, CH), 7.40 (2 H, t, ³J = 6.9 Hz, CH), 7.71 (3 H, d, ³J = 8.7 Hz, CH) ppm. ¹³C NMR (125.7 MHz, CDCl₃): δ_C = 49.5 (2 CH₂), 53.0 (2 CH₂), 63.0 (CH₂N), 110.2 (CH), 119.4 (CH), 123.3 (CH), 126.2 (CH), 126.7 (CH), 127.1 (CH), 127.4 (CH), 128.3 (2 CH), 128.4 (C), 128.6 (CH), 129.2 (2 CH), 134.6 (C), 137.9 (C), 149.2 (C) ppm. MS: *m/z* (%) = 302 (M⁺, 95), 287 (28), 146 (36), 91 (78), 56 (27). Anal. Calcd for C₂₁H₂₂N₂ (302.42): C, 83.40; H, 7.33; N, 9.26%; Found: C, 83.64; H, 7.19; N, 9.67%.

1-Benzyl-4-[3-(trifluoromethyl)phenyl]piperazine

Pale yellow oil; yield: 0.26 g (94%). IR (KBr) (ν_{max} , cm⁻¹): 2942, 1610, 1499, 1317, 1126. ¹H NMR(400 MHz, CDCl₃): δ_H = 2.63 (4 H, t, ³J = 4.9 Hz, 2 CH₂), 3.25 (4 H, t, ³J = 4.9 Hz, 2 CH₂), 3.59 (2 H, s, 2 CH₂N), 7.06 (1 H, t, ³J = 7.2 Hz, CH), 7.10 (2 H, m, CH), 7.26-7.29 (1 H, m, CH), 7.32-7.37 (5 H, m, CH) ppm. ¹³C NMR (125.7 MHz, CDCl₃): δ_C = 48.6 (2 CH₂), 52.8 (2 CH₂), 62.9 (CH₂N), 112.0 (CH, q, ³J = 3.8 Hz), 115.6 (CH, q, ³J = 3.9 Hz), 118.6 (CH), 124.3 (C, q, ¹J = 270.7 Hz), 127.2 (CH), 128.3 (2 CH), 129.2 (2 CH), 129.5 (CH), 131.5 (C, q, ¹J = 31.3 Hz), 137.7 (C), 151.4 (C) ppm. MS: *m/z* (%) = 320 (M⁺, 35), 229 (13), 159 (11), 85 (95), 77 (5), 50 (28). Anal. Calcd for C₁₈H₁₉F₃N₂ (320.35): C, 67.49; H, 5.98; N, 8.74%; Found: C, 67.86; H, 5.57; N, 9.11%.

1-Butyl-4-[3-(trifluoromethyl)phenyl]piperazine

Pale yellow oil; yield: 0.21 g (92%). IR (KBr) (ν_{max} , cm⁻¹): 2949, 1585, 1514, 1227. ¹H NMR(400 MHz, CDCl₃): δ_H = 0.94 (3 H, t, ³J = 7.2 Hz, CH₃), 1.30-1.36 (2 H, m, 2 CH₂), 1.47-1.57 (2 H, t, m, CH₂), 2.40 (2 H, t, ³J = 7.4 Hz, CH₂N), 2.61 (4 H, t, ³J = 5.1 Hz, CH₂), 3.25 (4

CH₂), 53.0 (2 CH₂), 55.1 (OMe), 63.1 (CH₂N), 113.4 (2 CH), 116.9 (2 CH), 127.2 (CH), 128.3 (2 CH), 129.3 (2 CH), 129.8 (CH), 137.9 (C), 152.8 (C), 160.5 (C) ppm. MS: *m/z* (%) = 282 (M⁺, 34), 267 (12), 119 (28), 91 (95), 77 (22), 56 (16). Anal. Calcd for C₁₈H₂₂N₂O (282.34): C, 76.56; H, 7.85; N, 9.92%; Found: C, 76.33; H, 7.61; N, 9.76%.

1-Butyl-4-phenylpiperazine

Pale yellow oil; yield: 0.17 g (87%). IR (KBr) (ν_{max} , cm⁻¹): 2955, 1607, 1498, 1208. ¹H NMR(400 MHz, CDCl₃): δ_H = 0.95 (3 H, t, ³J = 7.3 Hz, CH₃), 1.30-1.36 (2 H, m, 2 CH₂), 1.48-1.58 (2 H, t, m, CH₂), 2.41 (2 H, t, ³J = 7.5 Hz, CH₂N), 2.63 (4 H, t, ³J = 5.0 Hz, CH₂), 3.23 (4 H, t, ³J = 5.0 Hz, 2 CH₂), 6.86 (1 H, t, ³J = 7.3 Hz, CH), 6.94 (2 H, d, ³J = 7.9 Hz, CH), 7.26 (2 H, t, ³J = 7.3 Hz, CH) ppm. ¹³C NMR (125.7 MHz, CDCl₃): δ_C = 14.0 (CH₃), 20.8 (CH₂), 29.0 (CH₂), 49.1 (2 CH₂), 53.3 (2 CH₂), 58.5 (CH₂N), 116.0 (2 CH), 119.7 (CH), 129.0 (2 CH), 151.3 (C) ppm. MS: *m/z* (%) = 218.3 (M⁺, 95), 175 (77), 132 (15), 77 (10), 70 (18), 56 (9). Anal. Calcd for C₁₄H₂₂N₂ (218.34): C, 77.01; H, 10.16; N, 12.83%; Found: C, 77.18; H, 9.94; N, 13.17%.

1-Butyl-4-(4-methylphenyl)phenylpiperazine

Pale yellow oil; yield: 0.16 g (82%). IR (KBr) (ν_{max} , cm⁻¹): 2944, 1603, 1496, 1217. ¹H NMR(400 MHz, CDCl₃): δ_H = 0.95 (3 H, t, ³J = 7.3 Hz, CH₃), 1.30-1.34 (2 H, m, 2 CH₂), 1.48-1.54 (2 H, t, m, CH₂), 2.43 (2 H, t, ³J = 7.5 Hz, CH₂N), 2.62 (4 H, t, ³J = 5.0 Hz, CH₂), 3.23 (4 H, t, ³J = 5.0 Hz, 2 CH₂), 6.86 (2 H, d, ³J = 8.3 Hz, CH), 7.07 (2 H, d, ³J = 8.3 Hz, CH) ppm. MS: *m/z* (%) = 232 (M⁺, 75), 189 (90), 119 (56), 77 (5), 70 (22), 56 (11). Anal. Calcd for C₁₅H₂₄N₂ (232.36): C, 77.53; H, 10.41; N, 12.06%; Found: C, 77.19; H, 9.98; N, 13.15%.

1-Hexyl-4-phenylpiperazine

Pale yellow oil; yield: 0.20 g (88%). IR (KBr) (ν_{max} , cm⁻¹): 2948, 11592, 11486, 1235. ¹H NMR(400 MHz, CDCl₃): δ_H = 0.90 (3 H, t, ³J = 4.1 Hz, CH₃), 1.26-1.31 (6 H, m, 3 CH₂), 1.51-1.54 (2 H, t, m, CH₂), 2.40 (2 H, t, ³J = 4.5 Hz, CH₂N), 2.62 (4 H, t, ³J = 4.9 Hz, CH₂), 3.23 (4 H, t, ³J = 5.0 Hz, 2 CH₂), 6.85 (1 H, t, ³J = 7.3 Hz, CH), 6.92 (2 H, d, ³J = 8.6 Hz, CH), 7.26 (2 H, t, ³J = 7.4 Hz, CH) ppm. ¹³C NMR (125.7 MHz, CDCl₃): δ_C = 14.0 (CH₃), 22.5 (CH₂), 26.8 (CH₂), 27.3 (CH₂), 31.8 (CH₂),

= 7.4 Hz, CH₂N), 2.61 (4 H, t, ³J = 5.1 Hz, CH₂), 3.25 (4 H, t, ³J = 5.1 Hz, 2 CH₂), 7.05-7.07 (2 H, m, CH), 7.11 (1 H, s, CH), 7.34 (2 H, t, ³J = 8.0 Hz, CH) ppm. ¹³C NMR (125.7 MHz, CDCl₃): δ_C = 14.0 (CH₃), 20.7 (CH₂), 29.0 (CH₂), 48.5 (2 CH₂), 53.0 (2 CH₂), 58.4 (CH₂N), 112.0 (CH, q, ³J = 3.9 Hz), 115.6 (CH, q, ³J = 3.8 Hz), 118.5 (CH), 124.3 (C, q, ¹J = 280.5 Hz), 129.5 (CH), 131.5 (C, q, ²J = 31.2 Hz), 151.3 (C) ppm. MS: m/z (%) = 314 (M⁺, 66), 243 (95), 200 (71), 172 (73), 121 (31), 70 (68), 56 (18). Anal.Calcd for C₁₇H₂₅F₃N₂ (314.39): C, 64.95; H, 8.01; N, 8.91%; Found: C, 64.71; H, 7.84; N, 8.67%.

H, t, ³J = 5.1 Hz, 2 CH₂), 7.05-7.07 (2 H, m, CH), 7.11 (1 H, s, CH), 7.34 (2 H, t, ³J = 8.0 Hz, CH) ppm. ¹³C NMR (125.7 MHz, CDCl₃): δ_C = 14.0 (CH₃), 20.7 (CH₂), 29.0 (CH₂), 48.5 (2 CH₂), 53.0 (2 CH₂), 58.4(CH₂N), 112.0 (CH, q, ³J = 3.9 Hz), 115.6 (CH, q, ³J = 3.8 Hz), 118.5 (CH), 124.3 (C, q, ¹J = 280.5 Hz), 129.5 (CH), 131.5 (C, q, ²J = 31.2 Hz), 151.3(C) ppm. MS: m/z (%) = 286 (M⁺, 15), 175 (23), 77 (18), 70 (21), 56 (8). Anal.Calcd for C₁₅H₂₁F₃N₂ (286.34): C, 62.92; H, 7.39; N, 9.78%; Found: C, 62.73; H, 7.64; N, 9.66%.

1-Hexyl-4-[3-(trifluoromethyl)phenyl]piperazine

Pale yellow oil; yield: 0.23 g (95%). IR (KBr) (ν_{max}, cm⁻¹): 2938, 1611, 1500, 1316, 1128. ¹H NMR(400 MHz, CDCl₃): δ_H = 0.94 (3 H, t, ³J = 7.2 Hz, CH₃), 1.30-1.36 (2 H, m, 2 CH₂), 1.47-1.57 (2 H, t, m, CH₂), 2.40 (2 H, t, ³J

تاریخ دریافت: ۱۳۹۵/۱۰/۲۱؛ تاریخ پذیرش: ۱۳۹۶/۸/۱

مراجع

[۱] خانلری، طیبه؛ تهیه پلیمر حمایت کننده پالادیوم، برپایه پلیوینیل الکل و استفاده از آن در واکنش هک، نشریه شیمی و مهندسی شیمی ایران، ۱۳۹۴، ۲۵ تا ۴۰، ۳۴(۲).

[۲] امینی، مجتبی؛ بهرامی حیدرلو، دینا؛ باقرزاده، مجتبی؛ نانوذرهای پالادیم ثبت شده بر روی بستر روش اکسید به عنوان کاتالیستی مؤثر در واکنش جفت شدن هک، نشریه شیمی و مهندسی شیمی ایران، ۱۳۹۵، ۲۹ تا ۲۱.

- [3] Marset X., Khoshnood A., Sotorrío L., Gómez-Bengoa E., Alonso D. A., Ramón D. J., Deep Eutectic Solvent Compatible Metallic Catalysts: Cationic Pyridiniophosphine Ligands in Palladium Catalyzed Cross-Coupling Reactions, *Chem. Cat. Chem.*, **9**: 1269-1275 (2017).
- [4] Sandfort F., O'Neill M.J., Cornell J., Wimmer L., Baran P.S., Alkyl-(Hetero)Aryl Bond Formation via Decarboxylative Cross-Coupling: A Systematic Analysis, *Angew. Chem. Int. Ed.*, **56**: 3319-3323 (2017).
- [5] Brambilla M., Tredwell M., Palladium-Catalyzed Suzuki–Miyaura Cross-Coupling of Secondary α-(Trifluoromethyl)benzyl Tosylates, *Angew. Chem. Int. Ed.*, **56**: 11981-11985 (2017).
- [6] Serra J., Parella T., Ribas X., Au(III)-aryl Intermediates in Oxidant-Free C–N and C–O Cross-Coupling Catalysis, *Chem. Sci.*, **8**: 946-952 (2017).
- [7] Guram A.S., Buchwald S.L., Palladium-Catalyzed Aromatic Aminations with in situ Generated Aminostannanes, *J. Am. Chem. Soc.*, **116**: 7901-7902 (1994).
- [8] Clark J.S.K., Voth C.N., Ferguson M.J., Stradiotto M., Evaluating 1,1'-Bis(phosphino)ferrocene Ancillary Ligand Variants in the Nickel-Catalyzed C–N Cross-Coupling of (Hetero)aryl Chlorides, *Organometallics.*, **36**: 679-686 (2017).

- [9] Khalaj M., Ghazanfarpour-Darjani M., **Cross-Coupling Reaction of Aryl Diazonium Salts with Azodicarboxylate Using FeCl₂**, *RSC Adv.*, **5**: 80698-80701 (2015).
- [10] Yavari I., Ghazanfarpour-Darjani M., Bayat M.J., Malekafzali A., **Sodium Hydride Induced N-Arylation of Diisopropyl Azodicarboxylate by Aryl Trifluoromethanesulfonates**, *Synlett.*, **26**: 942-944 (2015).
- [11] Chan K.S.L., Wasa M., Chu L., Laforteza B.N., Miura M., Yu J.Q., **Ligand-Enabled Cross-Coupling of C(sp³)-H Bonds with Arylboron Reagents via Pd(II)/Pd(0) Catalysis**, *Nature Chemistry.*, **6**: 146-150 (2014).
- [12] De S., Yin J., Ma D., **Copper-Catalyzed Coupling Reaction of (Hetero)Aryl Chlorides and Amides**, *Org. Lett.*, **19**: 4864–4867 (2017).
- [13] Ma D., Cai Q., **Copper/Amino Acid Catalyzed Cross-Couplings of Aryl and Vinyl Halides with Nucleophiles**, *Acc. Chem. Res.*, **41**: 1450–1460 (2008).
- [14] Dai J.L., Shao N.Q., Zhang J., Jia R.P., Wang D.H., **Cu(II)-Catalyzed ortho-Selective Aminomethylation of Phenols**, *J. Am. Chem. Soc.*, **139**: 12390–12393 (2017).
- [15] Gao J., Bhunia S., Wang K., Gan L., Xia S., Ma D., **Discovery of N-(Naphthalen-1-yl)-N'-alkyl Oxalamide Ligands Enables Cu-Catalyzed Aryl Amination with High Turnovers**, *Org. Lett.*, **19**: 2809–2812 (2017).
- [16] Taylor R.D., MacCoss M., Lawson A.D.G., **Rings in Drugs**, *J. Med. Chem.*, **57**: 5845-5859 (2014).
- [17] Zhang T.Y., **The Evolving Landscape of Heterocycles in Drugs and Drug Candidates**, *Adv. Heterocycl. Chem.*, **121**: 1-12 (2017).
- [18] Vitaku E., Smith D.T., Njardarson J.T., **Analysis of the Structural Diversity, Substitution Patterns, and Frequency of Nitrogen Heterocycles among U.S. FDA Approved Pharmaceuticals**, *J. Med. Chem.*, **57**: 10257-10274 (2014).
- [19] Gettys K.E., Ye Z., Dai M., **Recent Advances in Piperazine Synthesis**, *Synthesis*, **49**: 2589–2604 (2017).
- [20] Maras N., Polanc S., Kocevar M., **Ring-Opening Reactions of 1,4-diazabicyclo[2.2.2]octane (DABCO) Derived Quaternary Ammonium Salts with Phenols and Related Nucleophiles**, *Org. Biomol. Chem.*, **10**: 1300-1310 (2012).
- [21] Zhu Q., Yuan Q., Chen M., Guo M., Huang H., **Multicomponent Reactions with Cyclic Tertiary Amines Enabled by Facile C–N Bond Cleavage**, *Angew. Chem. Int. Ed.*, **56**: 5101-5105 (2017).
- [22] Ross S.D., Bruno J.J., Petersen R.C., **Nucleophilic Displacement Reactions in Aromatic Systems. VII. The Ortho:Para Ratio in the Reactions of Nitrochlorobenzenes with Piperidine and with 1,4-diazabicyclo(2.2.2)octane**, *J. Am. Chem. Soc.*, **85**: 2603-2607 (1963).
- [23] Wang H.J., Wang Y., Csakai A.J., Earley W.G., Herr R.J., **Efficient N-Arylation/Dealkylation of Electron Deficient Heteroaryl Chlorides and Bicyclic Tertiary Amines under Microwave Irradiation**, *J. Comb. Chem.*, **11**: 355-363 (2009).

- [24] Koyioni M., Manoli M., Koutentis P.A., **The Reaction of DABCO with 4-Chloro-5H-1,2,3-Dithiazoles: Synthesis and Chemistry of 4-[N-(2-Chloroethyl)piperazin-1-yl]-5H-1,2,3-dithiazoles**, *J. Org. Chem.*, **81**: 615-631 (2016).
- [25] Yavari I., Bayat M.J., Ghazanfarpour-Darjani M., **Synthesis of N-alkyl-N'-aryl-piperazines via Copper-Catalyzed C–N Bond Formation**, *Tetrahedron lett.*, **55**: 5595-5596 (2014).
- [26] Ghazanfarpour-Darjani M., Babapour-Kooshalshahi M., Mousavi-Safavi S.M., Akbari-Neyestani J., Khalaj M., **Copper-Catalyzed Domino Addition–Cyclization Reaction between Terminal Alkynes, Carbon Disulfide, and Oxiranes**, *Synlett.*, **27**: 259-261 (2016).
- [27] Shahsavari F., Abbasi A., Ghazanfarpour-Darjani M., Ghafelebashi S.M., Daftari-Besheli M., **Synthesis of Allylbenzene Derivatives via sp^3 C–H Bond Transformation of Toluene**, *Synlett.*, **28**: 1646-1648 (2017).
- [28] Khalaj M., Ghazanfarpour-Darjani M., Barat-Seftejani F., Nouri A., **Novel Catalytic Three-Component Reaction between a Terminal Alkyne, Sulfonyl Azide, and O-Methyl Oxime**, *Synlett.*, **28**: 1445-1448 (2017).
- [29] Khalaj M., Ghazanfarpour-Darjani M., Talei Bativ Olyai M.R., Faraji Shamami S., **Palladium Nanoparticles as Reusable Catalyst for the Synthesis of N-Aryl Sulfonamides under Mild Reaction Conditions**, *Journal of Sulfur Chemistry*, **37**: 211-222 (2016).